



南京航空航天大學

microCLIP: Unsupervised CLIP Adaptation via Coarse-Fine Token Fusion for Fine-Grained Image Classification

Sathira Silva¹ Eman Ali^{1,2} Chetan Arora³ Muhammad Haris Khan¹

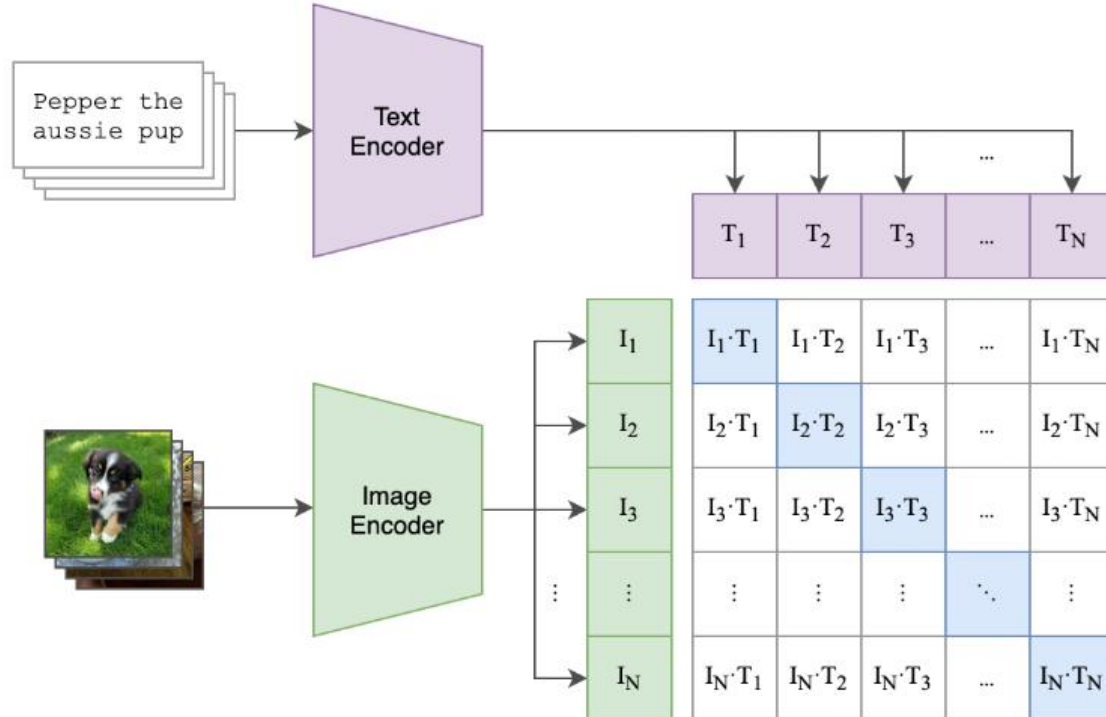
CVPR 2025

Introduction

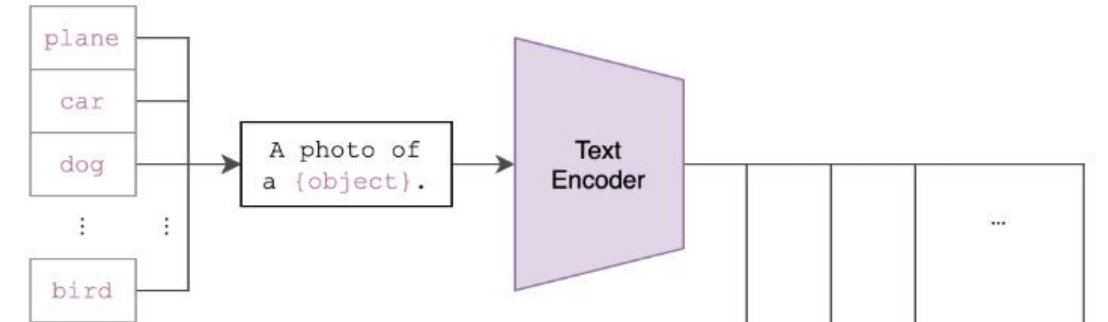


解决问题：CLIP在细粒度分类任务上表现较差

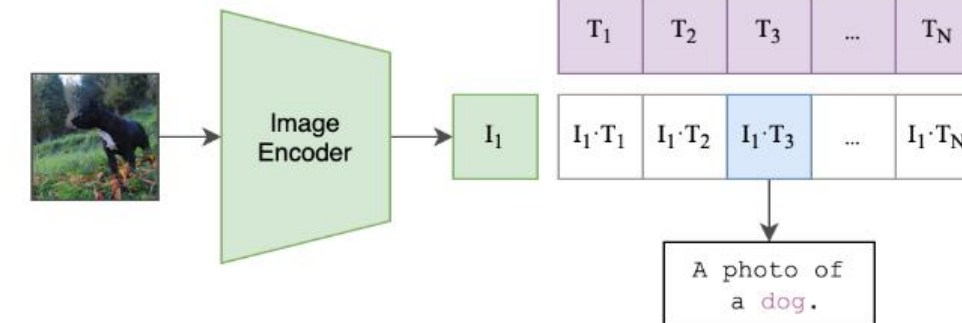
(1) Contrastive pre-training



(2) Create dataset classifier from label text



(3) Use for zero-shot prediction



CLIP 在 zero-shot 分类中表现很强，但在细粒度任务上性能受限

原因：CLIP 的 [CLS] token 是全局特征，忽略了图像中局部的、判别性的细节

Introduction

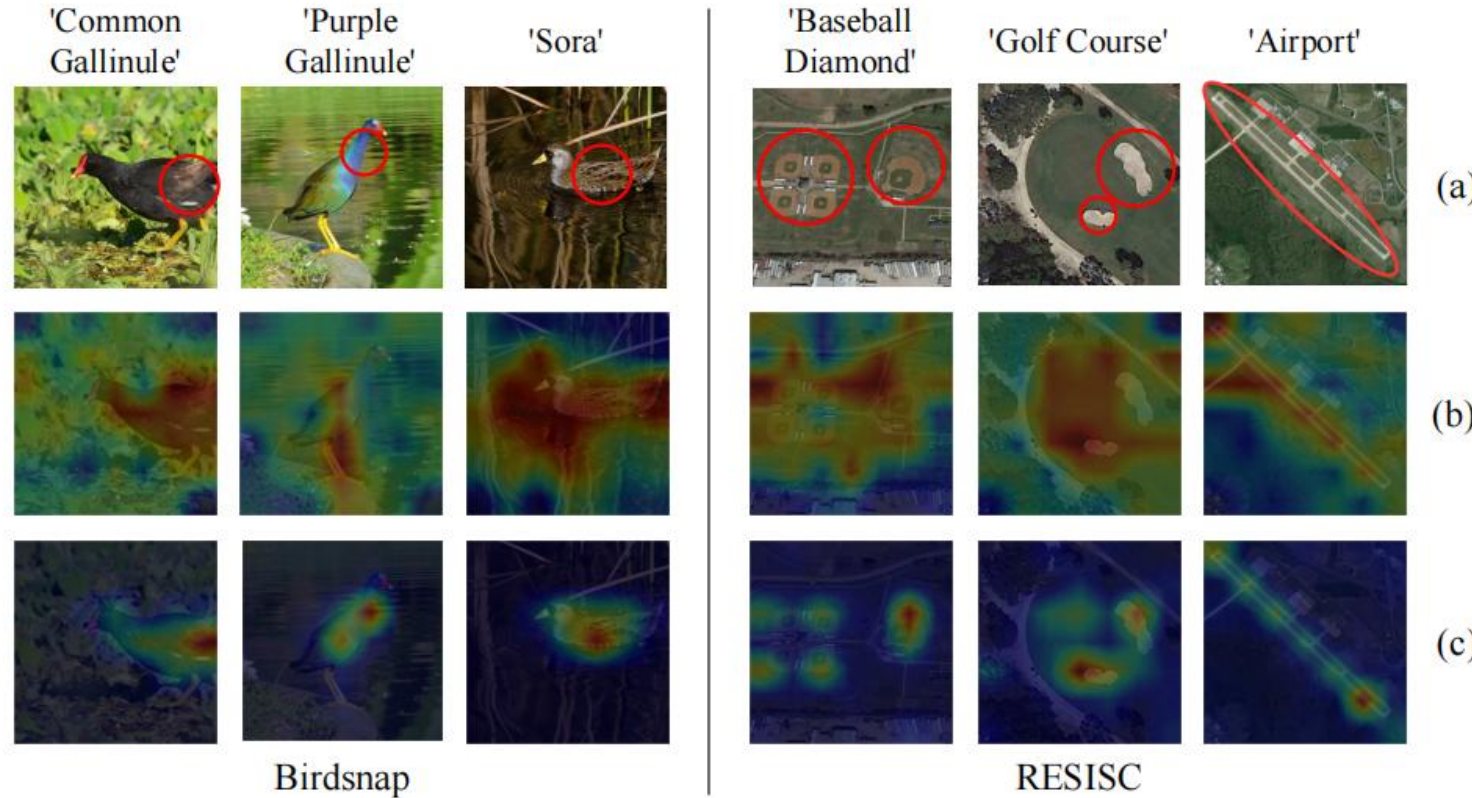


Figure 1. Attention maps on two fine-grained datasets: Birdsnap and RESISC45. Row (a): input images; (b): global attention from DPA [2]; (c): local attention from **microCLIP** (ours). By guiding the [FG] token with SOAP queries, microCLIP focuses on semantically critical regions, yielding sharper, more discriminative attention. Red circles highlight referenced regions in the text.

DPA: Dual Prototypes Alignment for Unsupervised Adaptation of Vision-Language Models



无监督自适应 (Unsupervised Adaptation of CLIP)

UPL\POUF\LaFTer无监督微调。ReCLIP投影空间解决视觉-文本错位问题，并同时微调两个编码器，同时投入大量成本进行伪标记的标签传播，成本很高。

DPA从无标签的图片中找出一些图像原型，然后让文本描述和这些“代表图片”对齐，减少错误。但它还是依赖于 CLIP 的 [CLS] token，而这个 token 是全局的，不够精细。

多视角表示 (Multi-view Representations)

用于生成伪标签的增强视图

DINO-MC, VCR：这些方法会切出不同大小的图片块，来丰富 CLIP 的特征。

WCA (这是 microCLIP 借鉴灵感的对象)：它会随机切出非常多（比如60个）的小块，然后把这些小块的预测结果加权平均，得到一个更可靠的判断。计算量巨大。本方法只切很少的几个块（比如8个）

提取显著区域 (Extraction of Salient Regions)

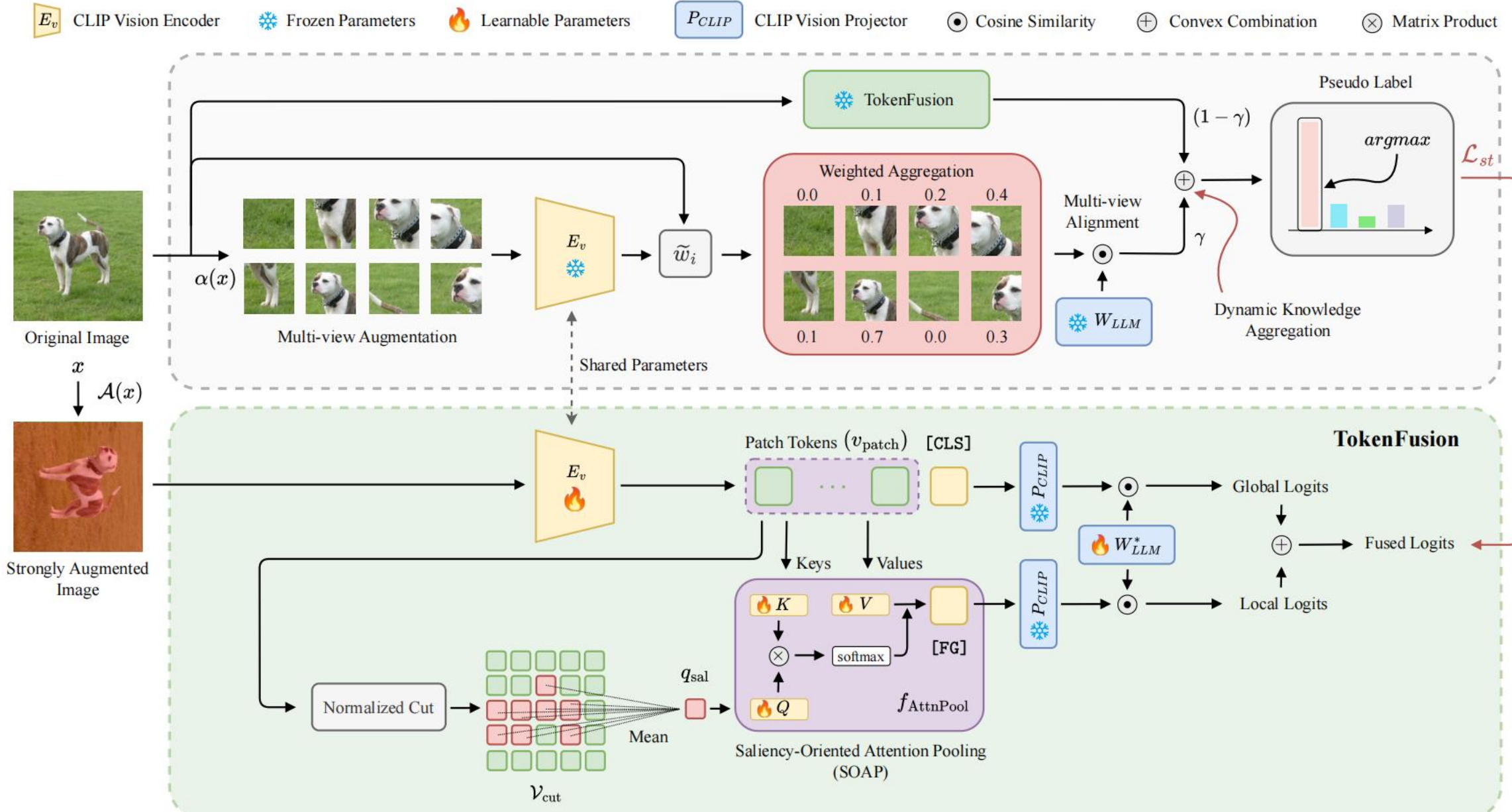
采用Normalized Cut (NCut)。将图片里的 patch tokens 分成两组，一组是最重要的，一组是次要的。

细粒度任务中的 Patch Tokens 利用

TagCLIP：CLIP 视觉编码器的倒数第二层的 patch tokens 比最后一层的更优。最后一层的 patch tokens 已经被 [CLS] token “污染”，失去了局部信息，而倒数第二层还保留着清晰的空间细节。

clip_skip = 1	使用倒数第 2 层 (Layer N-1) 输出；，保留关键词准确度	输出层不同，对 prompt 理解深浅不同，直接影响最终图像生成内容。
clip_skip = 2	使用倒数第 3 层 (Layer N-2) 输出；最大限度还原 prompt 精度	
clip_skip = 0	或默认 → 使用最后一层 (Layer N) 输出，风格高度融合，但可能失真	

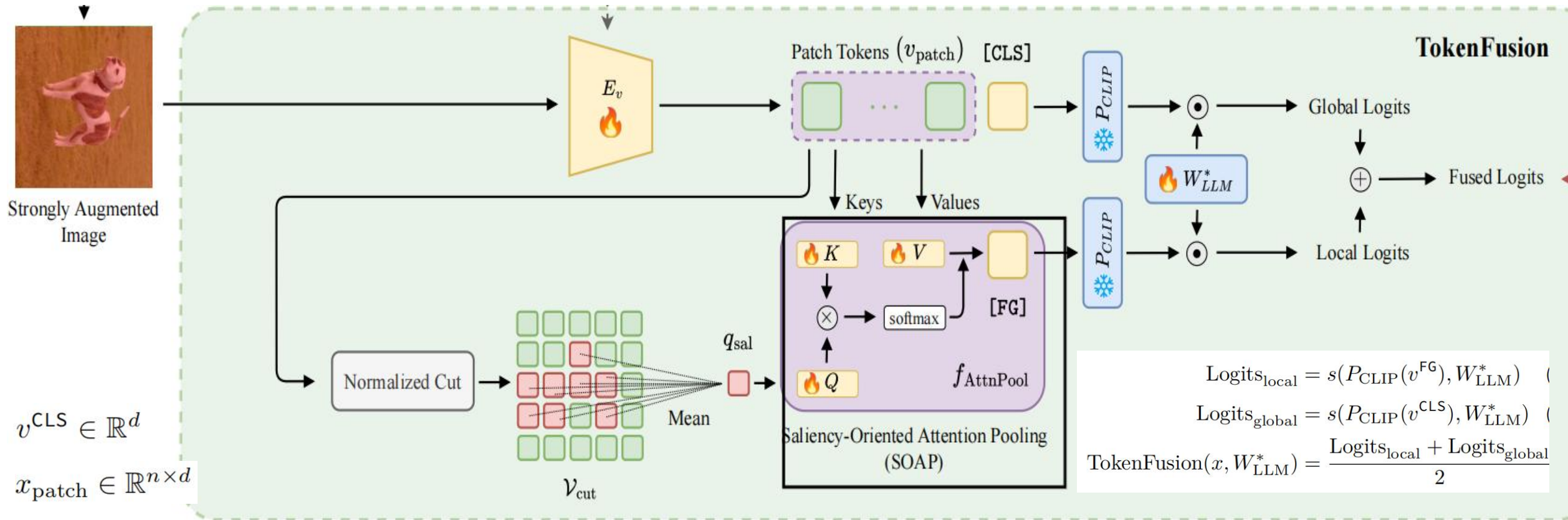
Method



Method TokenFusion



Saliency-Oriented Attention Pooling (SOAP) 面向显著性的注意力池化



$$E_v(x) = [x_{\text{patch}}, v^{\text{CLS}}]$$

$$\mathcal{V}_{cut} = \text{NCut}(v_{\text{patch}})$$

$$v^{FG} = f_{\text{AttnPool}}(q_{\text{sal}}, v_{\text{patch}})$$

$$\tilde{v}_{\text{patch}} = x_{\text{patch}}^{L-1} + x_{\text{patch}}^{L-1} \widetilde{W}_V^L$$

$$v_{\text{patch}} = \tilde{v}_{\text{patch}} + \text{MLP}(\tilde{v}_{\text{patch}})$$

$$q_{\text{sal}} = \frac{1}{|\mathcal{V}_{cut}|} \sum_{v \in \mathcal{V}_{cut}}$$

$$= \text{softmax} \left(\frac{q_{\text{sal}} W_Q (v_{\text{patch}} W_K)^\top}{\sqrt{d}} \right) v_{\text{patch}} W_V$$

 E_v

CLIP Vision Encoder

Frozen Parameters

Learnable Parameters

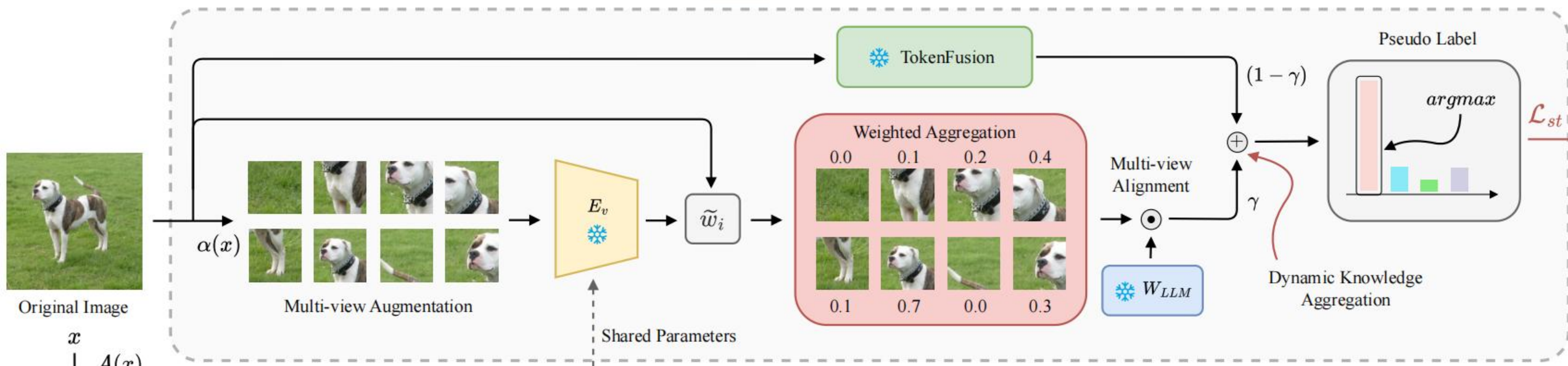
 P_{CLIP}

CLIP Vision Projector

Cosine Similarity

Convex Combination

Matrix Product



$$\alpha(x) = \{x_i | x_i = \phi(x, \lambda_i \min(H, W)) \mid i = 1 \dots N\}$$

$$w_i = \frac{\exp(s(f(x), f(x_i)))}{\sum_{l=1}^N \exp(s(f(x), f(x_l)))}$$

$$f^{\text{agg}}(x) = \sum_{i=1}^N w_i \cdot f(x_i | \alpha)$$

$$\text{Pseudo-logits}_{\text{CLIP}} = s(f^{\text{agg}}(x), W_{\text{LLM}} | \alpha)$$

$$\hat{y} = \arg \max_{y \in \mathcal{Y}} \{ \gamma \cdot \text{Pseudo-logits}_{\text{CLIP}}$$

$$+ (1-\gamma) \cdot \text{TokenFusion}(x, W_{\text{LLM}}^*) \}$$

$$\mathcal{L}_{\text{st}} = - \mathbb{E}_{x \in \mathcal{X}_t} \sum_{j=1}^C \mathbb{I}\{\hat{y} = j\} \log (\text{TF}(\mathcal{A}(x), W_{\text{LLM}}^*))$$

$$\mathcal{L}_{\text{reg}} = - \frac{1}{C} \sum_{k=1}^C \log \bar{p}_{\mathcal{A}(x^k)}$$

$$\mathcal{L} = \mathcal{L}_{\text{st}} + \mathcal{L}_{\text{reg}}$$

$f(x_i)$ 表示第 i 个区域的 CLIP 嵌入。将其与固定的细粒度文本分类器 W_{LLM} 对齐，以克服 [CLS] token 的粗粒度限制，并生成一致的伪预测。

$$f(x) = P_{\text{CLIP}}(v^{\text{CLS}})$$

Result



Method	Venue	Birdsnap	Caltech	Cars	CIFAR100	DTD	FGVC	Flowers	Food101	Imagenet	Pets	RESISC	SUN397	UCF101	Avg
Zero-shot / Training-free Methods															
CLIP [39]	ICML'21	37.45	90.69	58.70	64.47	44.63	19.50	66.42	83.95	63.30	87.50	57.59	61.32	61.86	61.34
CuPL [38]	ICCV'23	37.02	94.62	60.79	65.22	50.11	20.94	69.51	84.05	64.26	87.16	61.14	65.57	66.90	63.64
WCA* [24]	ICML'24	37.63	94.02	<u>61.95</u>	51.78	51.60	<u>21.15</u>	68.70	83.97	65.01	86.32	62.56	64.93	65.82	62.73
UA Methods															
UPL [15]	-	32.80	92.36	49.41	67.41	45.37	17.07	67.40	84.25	58.22	83.84	57.63	62.12	62.04	59.99
POUF [47]	ICML'23	<u>38.40</u>	94.10	57.70	62.00	46.10	18.20	67.80	82.10	52.20	87.80	66.40	60.00	61.20	61.08
LaFTer [33]	NeurIPS'23	31.14	94.39	57.44	69.79	50.32	19.86	72.43	82.45	61.63	84.93	61.60	65.87	65.08	62.07
ReCLIP [†] [14]	WACV'24	37.38	93.84	58.84	71.43	53.88	18.87	72.63	84.22	63.95	85.27	<u>73.05</u>	65.23	<u>67.06</u>	64.69
DPA [‡] [2]	WACV'25	31.54	95.54	56.83	<u>74.22</u>	<u>55.96</u>	20.10	<u>75.48</u>	<u>84.76</u>	64.64	<u>90.11</u>	71.11	<u>68.13</u>	66.69	<u>65.78</u>
microCLIP (Ours)	-	38.59	<u>94.93</u>	65.81	77.41	60.00	22.74	75.84	85.58	64.45	90.24	77.25	68.98	70.98	68.68

表 1. 13 个数据集上基于 ViT-B/32 主干网络的最先进方法的 Top-1 准确率 (%) 对比。* 表示使用与 microCLIP 相同数量的图像块复现的结果。[†] 我们通过在归纳情景下训练 ReCLIP [14] 得到结果。[‡] 为保证公平比较，我们使用与 microCLIP 相同的固定学习率复现 DPA。